

**РЕГУЛЯРНЫЕ ИЗМЕНЕНИЯ ГРАВИТАЦИОННОГО  
ПОЛЯ КАК РИТМОЗАДАЮЩИЙ ФАКТОР  
ФИЗИКО-ХИМИЧЕСКИХ И БИОЛОГИЧЕСКИХ  
ПРОЦЕССОВ**

(Арктический и Антарктический НИИ, С.Петербург)

# Обзор результатов исследований, выполненных в отделе геофизики ААНИИ в 1999-2003 гг

- **Troshichev O.A., Gorshkov E.S., Shapovalov S.N., Sokolovskii V.V., Ivanov V.V., Vorobeitchikov V.M.** – Variations of the gravitational field as a motive power for rhythmic biochemical processes, *Advances in Space Physics*, 2004 (in press).
- **Соколовский В.В., Горшков Э.С., Иванов В.В., Шаповалов С.Н, Трошичев О.А.-** Проявление связи некоторых биохимических процессов с флуктуациями гравитационного поля в модельных и природных условиях, *Биофизика*, 2004 (в печати)
- **Шаповалов С.Н., Горшков Э.С., Трошичев О.А.**, Космофизические эффекты в импульсных отклонениях тока микрофотоколориметра, *Биофизика*, 2004 (в печати).
- **Шаповалов С.Н., Горшков Э.С., Трошичев О.А., Борисова Т.Д., Франк-Каменецкий А. В.** - Проявления гравитационных возмущений от Солнца в нестабильности «компьютерного времени», *Биофизика*, 2004 (в печати).
- **Гедерим В.В., Соколовский В.В., Горшков Э.С., Шаповалов С.Н., Трошичев О.А.** – Периодические изменения некоторых гематологических показателей, характеризующих процесс адаптации в организме человека, и вариации гравитационного поля, *Биофизика*, 46, 833-834, 2001.
- **Шаповалов С.Н., Горшков Э.С., Борисова Т.Д., Соколовский В.В., Трошичев О.А.** – Случайные флуктуации в показаниях измерительных приборов: эффекты космофизического влияния? *Биофизика*, 46, 819-822, 2001.
- **Горшков Э.С., Шаповалов С.Н., Соколовский В.В., Трошичев О.А.** - О гравитационной обусловленности флуктуаций скорости окисления унитиола нитритным ионом, *Биофизика*, 45, 631-635, 2000.
- **Горшков Э.С., Шаповалов С.Н., Соколовский В.В., Трошичев О.А.** – О детектировании импульсного космофизического излучения, *Биофизика*, 45, 947-949, 2000.

# Цель исследований

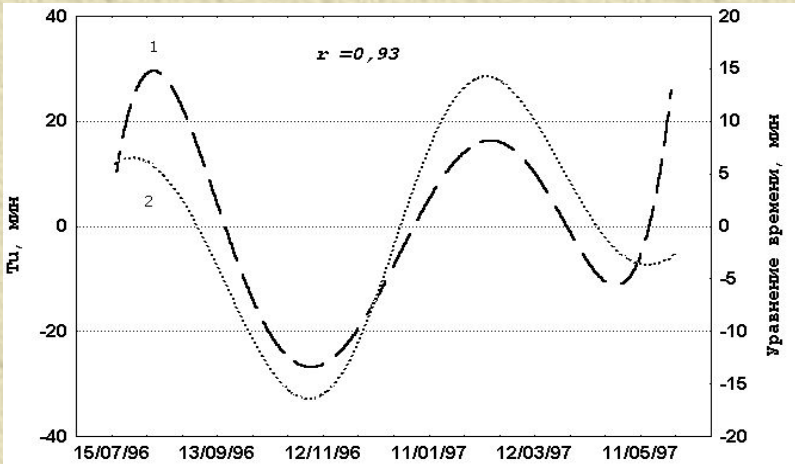
Принято считать что связь между Земной биосферой и космическим окружением реализуется посредством электромагнитных полей. Между тем, Земля всегда подвергается воздействию постоянно меняющегося гравитационного поля.

Тем не менее, временные вариации гравитационного поля и их эффекты остаются вне внимания учёных, и основной причиной этого является, повидимому, отсутствие надёжных средств измерения временных вариаций гравитационного поля.

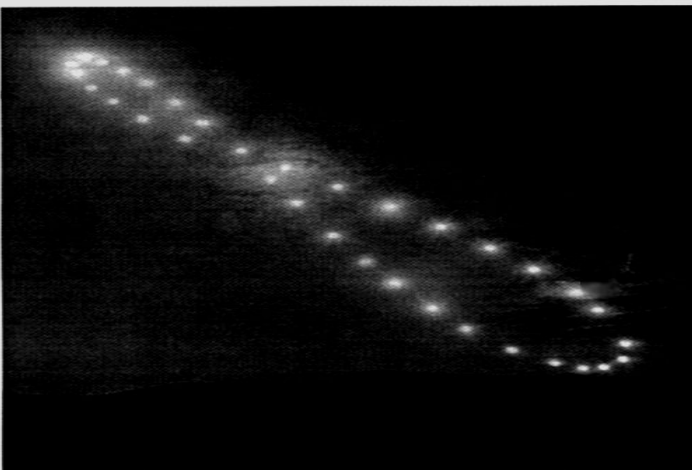
Целью наших исследований было:

- выявить экспериментальные свидетельства влияния гравитационных вариаций на некоторые естественные и технологические процессы,
- показать что регулярные вариации гравитационного поля, возникающие при движении Земли вдоль её орбиты, являются источником многих ритмических процессов, типичных для биохимических и технологических процессов.

# Гравитационное поле в околоземном космическом пространстве является суммой гравитационных полей Солнца, Луны и Земли и существенно меняется в ходе орбитального движения Земли

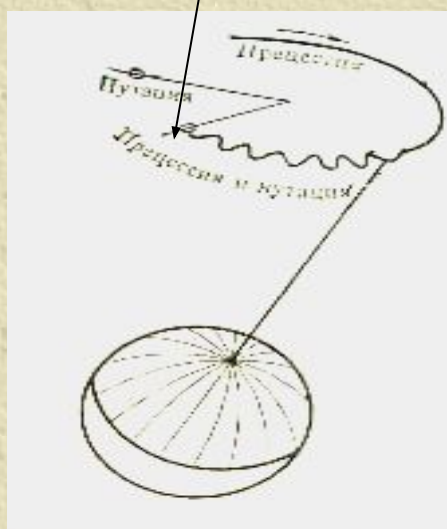
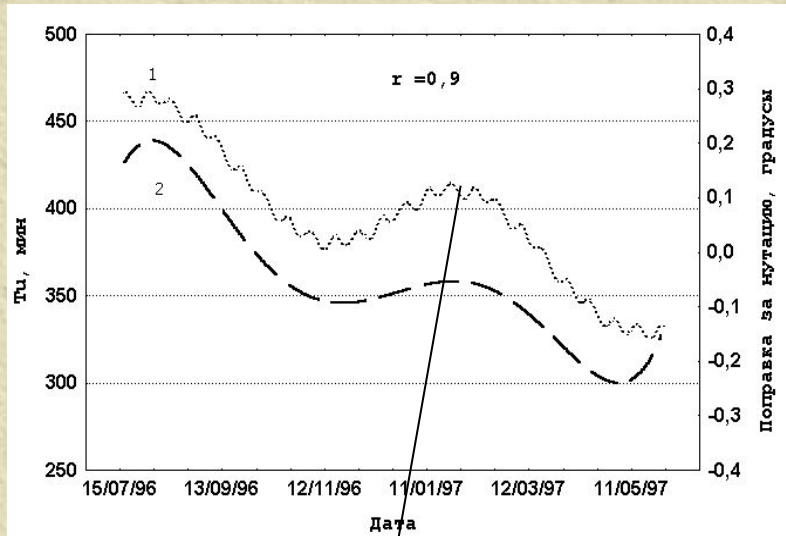


Сравнение длиннопериодной вариации  $T_i$  (1) (после исключения тренда) и уравнения времени (2)



- Движение Земли по орбите является неравномерным и представляет суперпозицию поступательного и вращательного движений.
- **Неравномерное орбитальное движение** описывается уравнением времени ( $T_{\text{Sun}}(\text{ave}) - T_{\text{real}} = \eta$ ), которое включает полугодовую волну и годовой период в вариации поступательного движения.

# Неравномерное вращательное движение Земли



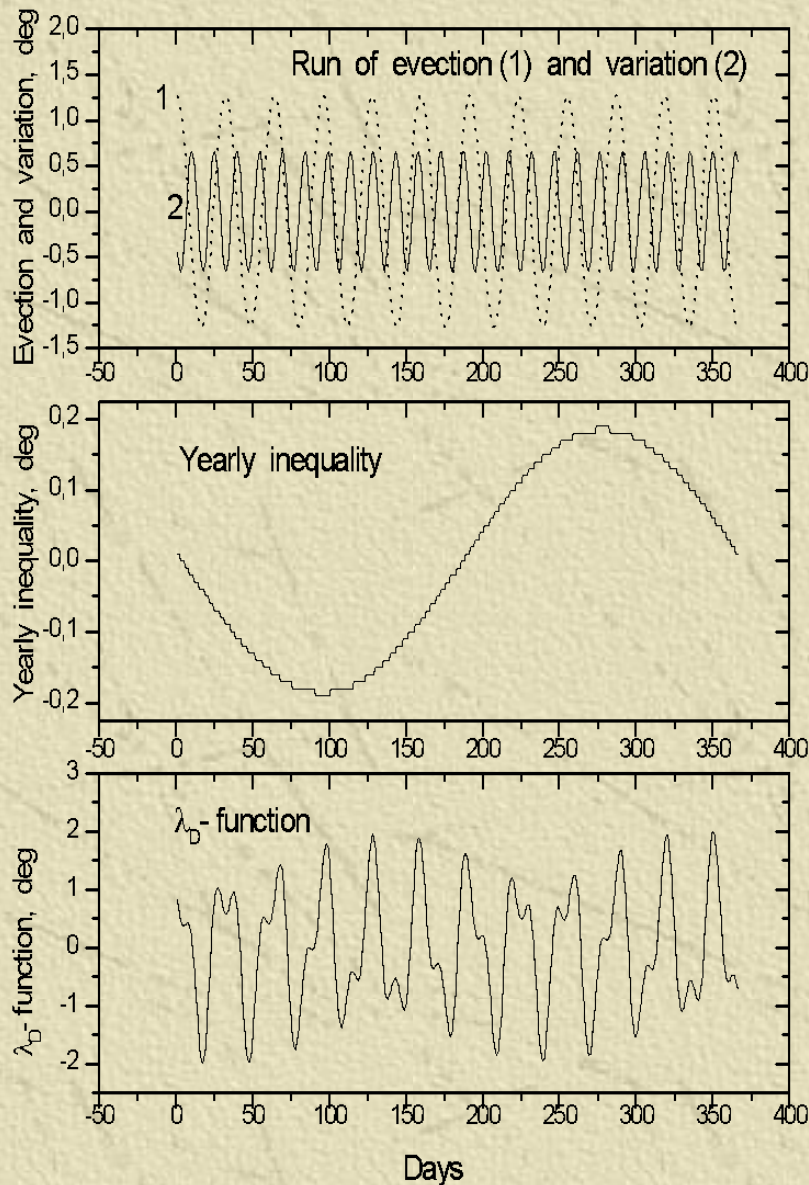
Под воздействием суммарного влияния Луны и Солнца ось вращения Земли отклоняется от полюса мира, двигаясь вдоль сложной кривой. Это сложное движение включает прецессию с периодом около 26 тысяч лет и нутационные движения с периодами от нескольких дней до 18.6 лет [Brown, 1919; Meeus, 1988; Roy, 1988]. Движение, связанное с долго-периодными нутациями (более 90 дней) описывается уравнением равноденствия [Meeus, 1988]. Меньшие нутационные периоды учитываются **уравнением для геоцентрической эклиптической долготы Луны**.

## $\lambda_D$ - ФУНКЦИЯ

- Укороченная форма выражения для геоцентрической эклиптической долготы, включающая только основные члены с коэффициентами не менее  $0.18^\circ$ , может быть выражена как:  
$$\lambda = L + 6^\circ \cdot 289 \sin l - \underline{1^\circ \cdot 274 \sin(l-2D)} + \\ + \underline{0^\circ \cdot 658 \sin 2D} + 0^\circ \cdot 214 \sin 2l + \underline{0^\circ \cdot 186 \sin l'},$$
где  $L$  – средняя долгота Луны,  $l$  – средняя лунная аномалия,  $l'$  – средняя солнечная аномалия, и  $D$  – различие средних долгот Луны и Солнца [Meeus, 1988].
- Первый, второй и пятый члены в этом выражении описывают эллиптическую форму невозмущённой лунной орбиты.
- Третий, четвёртый и шестой члены, отмеченные подчёркиванием, учитывают возмущающее действие Солнца на движение Луны, приводящее к коротко-периодным нутациям Земной оси (так называемые «**основные возмущения от Солнца**»). Эти члены известны под названием неравенств, характеризующих неоднородное движение Луны.
- Эти три неравенства определяют следующие нутационные периоды: 14.8 дня (“вариация”), 31.8 дня (“эвекция”), and 182.6 дня (“годовое неравенство”). Суперпозиция этих неравенств представляет **суммарный эффект основных нутационных движений Земли** и именно она будет рассматриваться в нашем дальнейшем анализе под названием  $\lambda_D$  – **функция**

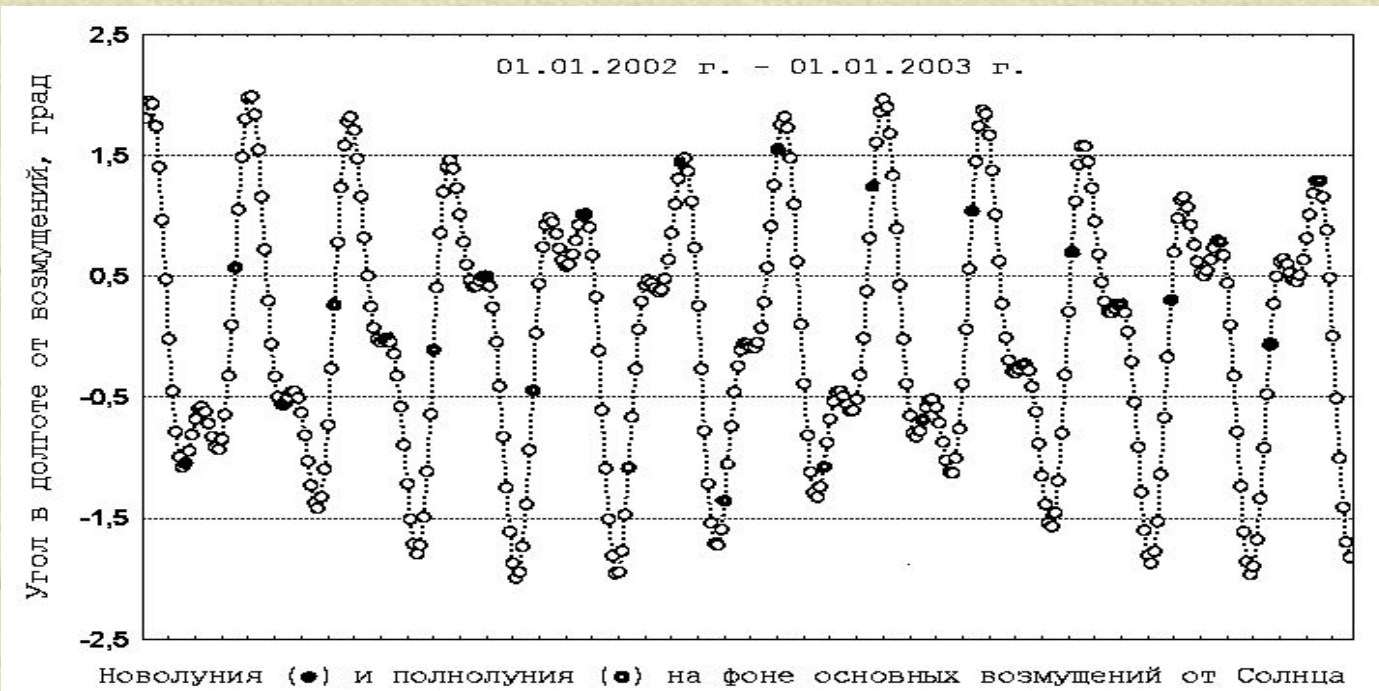
# $\lambda_D$ – ФУНКЦИЯ – суммарный эффект основных нутационных движений Земли

January 01, 2000 - December 31, 2000



- Эвекция (1) – период 31.8 дня
- Вариация (2) – период 14.8 дня
- Годовое неравенство – период 182.6 дня
- Суперпозиция этих неравенств представляет **суммарный эффект основных нутационных движений** и именно она будет рассматриваться в нашем дальнейшем анализе под названием  $\lambda_D$  – функция.

# Отношение $\lambda_D$ – функции к фазам Луны



Влияние Луны на земные процессы обычно отождествляется с приливной силой, возникающей при вращении Луны вокруг Земли.

Рис показывает расположение Луны относительно  $\lambda_D$  – функции в 2002г.: (чёрные точки – полнолуние), открытые кружки – новолуние).

Период вращения Луны вокруг Земли равен 27 дням, поэтому моменты полнолуния и новолуния закономерно смещаются вдоль кривой  $\lambda_D$  – функции, и наблюдается очевидное несоответствие между экстремумами  $\lambda_D$  – функции и фазами Луны.

# Экспериментальные данные

- **Унитиоловый тест** (скорость окисления унитиола нитритом натрия) [Sokolovsky *et al* 1982, 1984]) как индикатор скорости биохимических реакций *in vitro*. Как известно, тиоловые соединения содержат высокореактивные SH-группы, благодаря чему они вступают в различные химические реакции, в частности, в реакции окисления - восстановления, имеющие важное биологическое значение. Наблюдения скорости окисления унитиола нитритом натрия проводились на станции Мирный (Антарктика) во время глубокого минимума солнечной активности (с 15 июля 1996 по 1 июня 1997).
- **Содержание гемоглобина (НВ) и скорость оседания эритроцитов (ESR)** – характеристики периферической крови. Мониторинг этих характеристик проводился в Санкт-Петербурге на 2500 пациентах Военного госпиталя № 442 и клиники им. Петра Великого в период с 1 июня по 31 октября 2000г.
- **Тиоловый статус организма человека** (измерения тиоловых соединений в моче человека). Измерялась концентрация тиолов и общего количества тиолов, выводимых из организма за сутки (2500 физиологических проб). Исследования выполнялись на ст. Восток (Антарктика) в период с 29 января 2001 г. по 26 января 2002 г.
- **GPS - поправки компьютерного времени** регистрировались на ст. Восток (Антарктика) с 01.02.98 г. по 01.02.99 г
- **GPS – поправки координат ст.Восток**

## Метод анализа

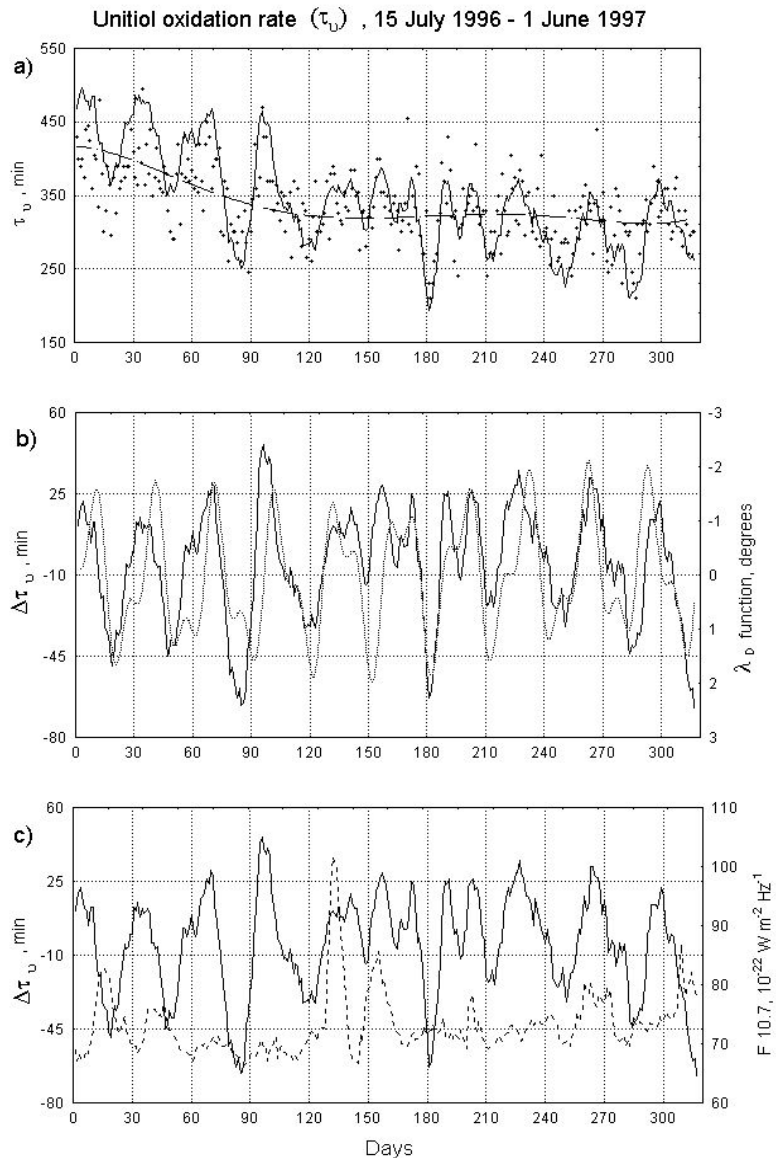
Выделение коротко-периодических вариаций во временных рядах экспериментальных данных путём бегущего осреднения по 9 точкам (дням).

Выделение долгопериодного тренда в рядах наблюдений методом полиномиального сглаживания 5-го порядка.

Расчёт отклонений усреднённых характеристик от долго-перидного тренда.

Сопоставление полученных кривых с ходом  $\lambda_D$  – функции за соответствующий период.

# Скорость окисления унитиола и $\lambda_D$ - функция

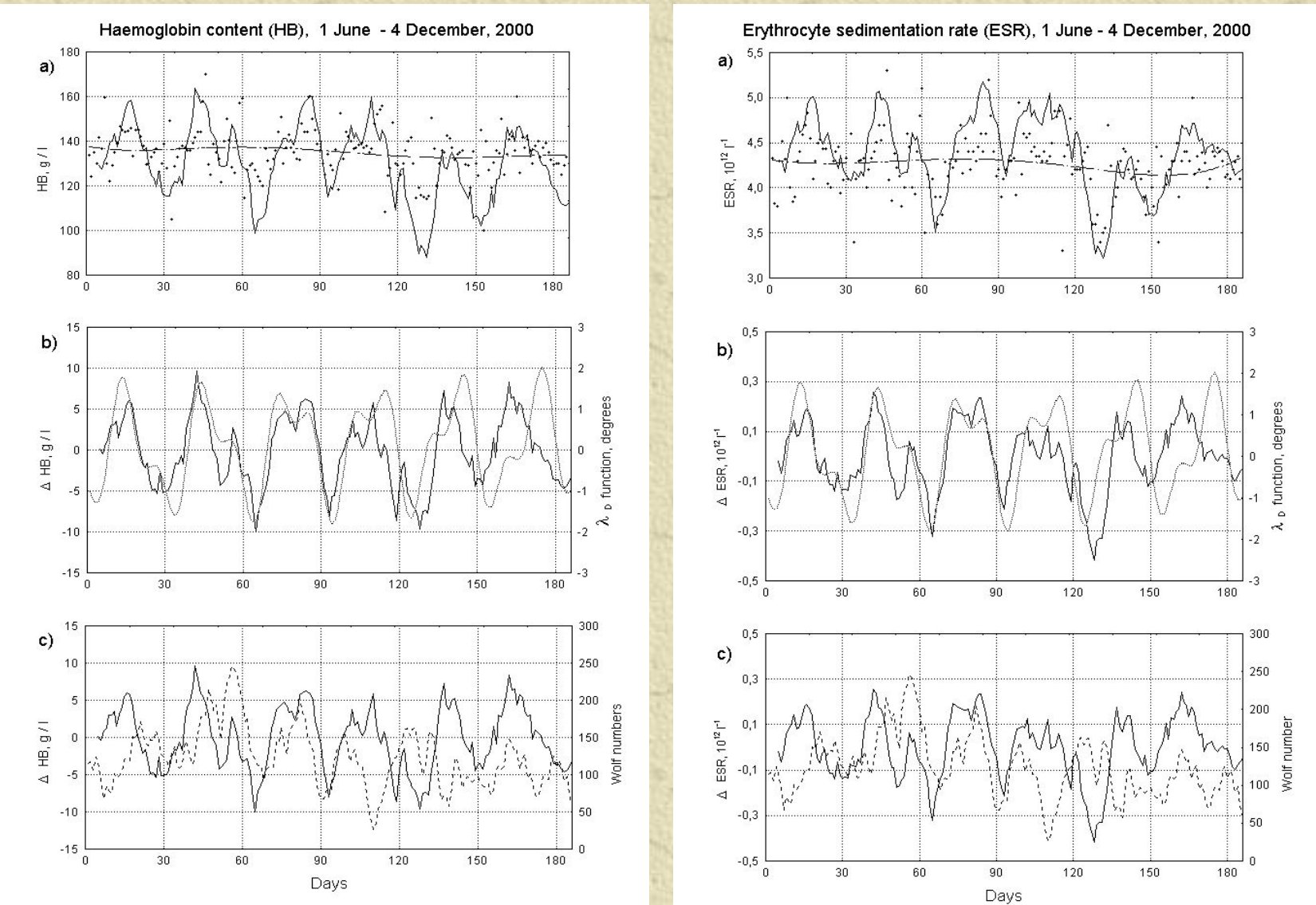


**Унитиоловый тест (скорость окисления унитиола нитритом натрия) [Sokolovsky *et al* 1982, 1984]) как индикатор скорости биохимических реакций *in vitro*.**

- Наблюдения скорости окисления унитиола  $\tau_u$  проводились на станции Мирный (Антарктика) во время глубокого минимума солнечной активности (с 15 июля 1996 по 1 июня 1997).

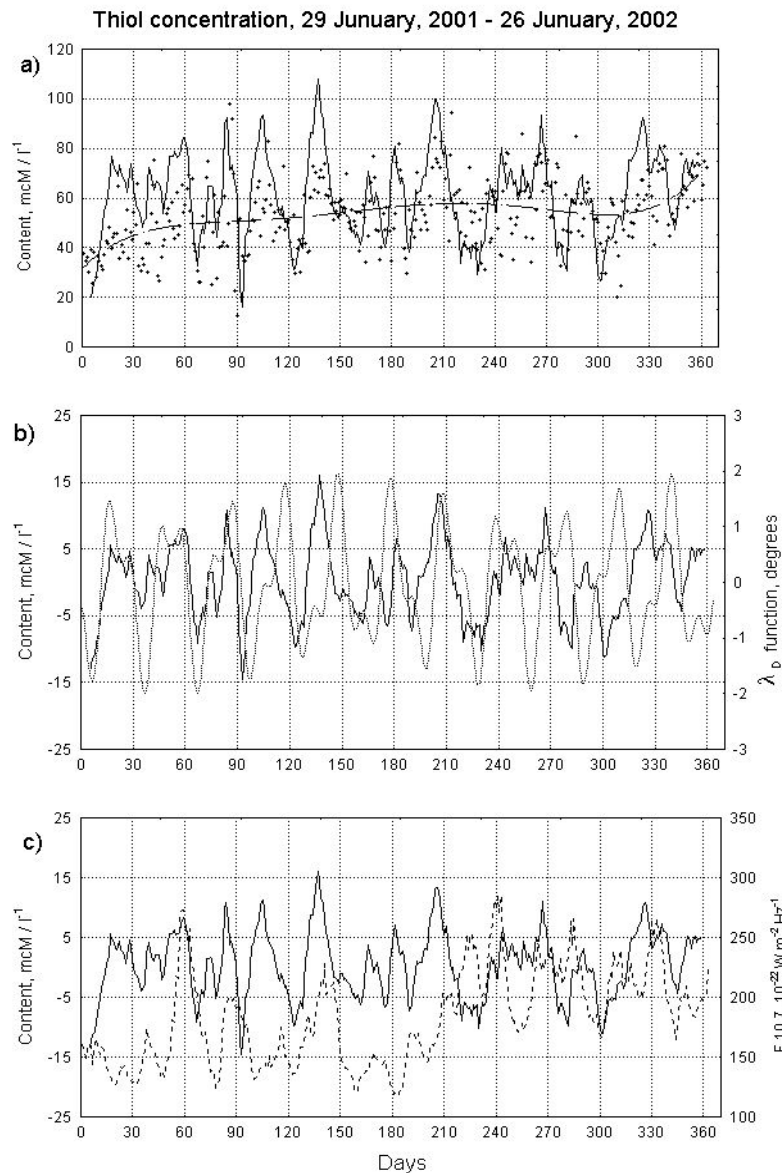


# Гематологические показатели человека и $\lambda_D$ - функция



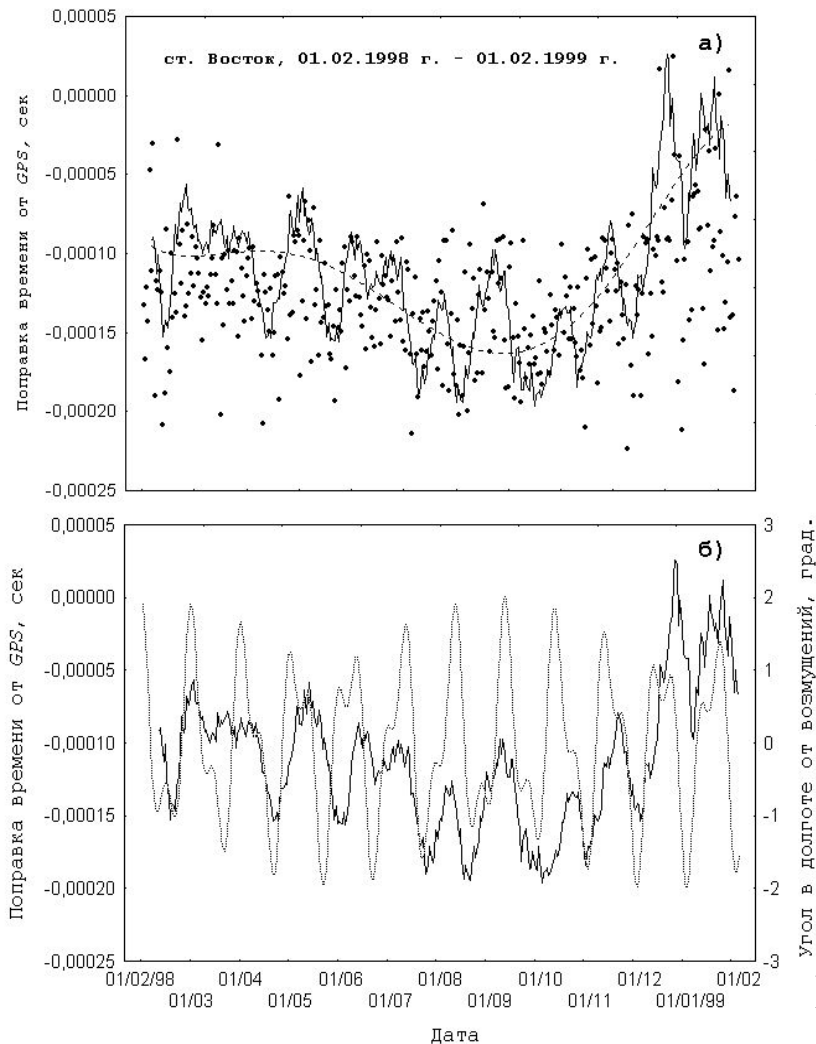
Мониторинг содержания гемоглобина (HB) и скорости оседания эритроцитов (ESR) проводился в Санкт-Петербурге на 2500 пациентах Военного госпиталя N 442 и клиники им. Петра Великого в период с 1 июня по 31 октября

# Тиоловый статус организма человека и $\lambda_D$ - функция



- В качестве показателя тиоловый статус организма человека измерялась концентрация тиолов и общего количества тиолов, выводимых из организма в моче за сутки (2500 физиологических проб).
- Исследования выполнялись на ст. Восток (Антарктика) в период с 29 января 2001 г. по 26 января 2002 г.
- Выявлен ритмический характер флюктуаций общего содержания тиолов и концентрации тиолов в организме человека..

# Проявления неэлектромагнитных возмущений от Солнца в нестабильности «компьютерного времени».



«Компьютерное время» обеспечивается кварцевым генератором, встроенным в каждый компьютер.

Точность компьютерных часов определяется индивидуальными характеристиками каждого кварцевого генератора и поэтому может быть разной для различных ПК.

Коррекция "компьютерного времени" осуществляется автоматически с помощью *GPS*-приемников, принимающих сигналы точного времени от спутников Глобального Позиционирования (*GPS*), оборудованных прецизионными атомными часами.

*GPS* - поправки компьютерного времени регистрировались на ст.Восток (Антарктика)

с 01.02.98 г. по 01.02.99 г

Результаты анализа:

- Имеет место несомненное фазовое соответствие между ходом поправок «компьютерного времени» и поведением  $\lambda_D$ -функции.

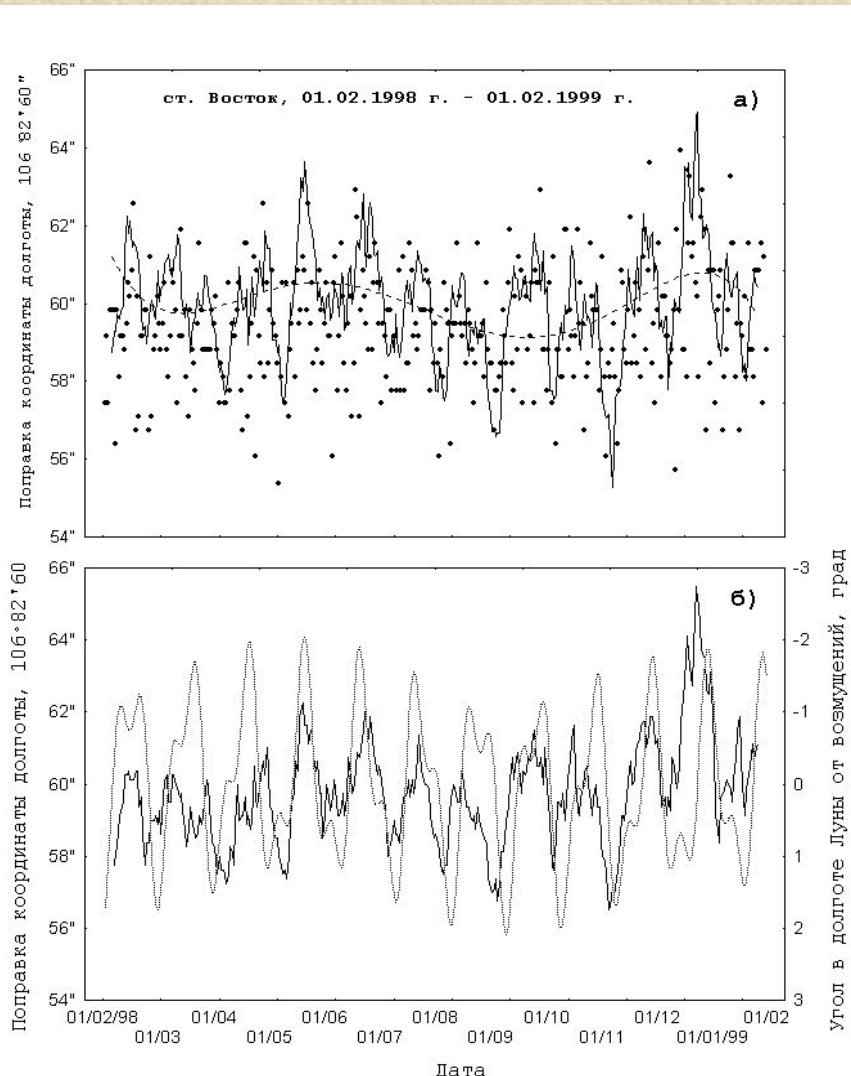
# Проявления неэлектромагнитных возмущений от Солнца в GPS поправках географических координат ст. Восток

Сигналы *GPS* вместе наряду с поправками времени дают также и поправки географических координат пункта наблюдений.

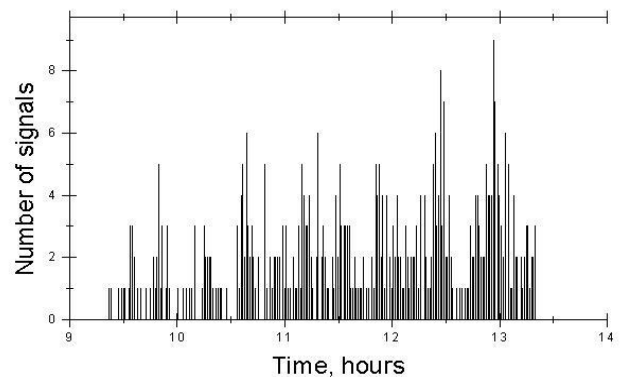
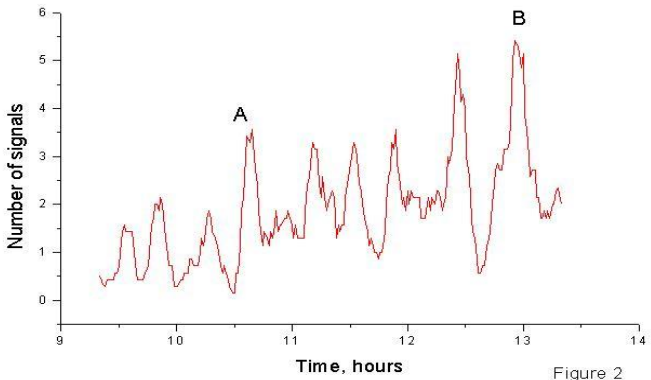
Положение земной оси существенно меняется под воздействием гравитационного поля Луны – локализация ст Восток может меняться на несколько метров относительно полюса мира.

GPS - поправки долготы регистрировались на ст.Восток (Антарктика) с 01.02.98 г. по 01.02.99 г

- Отмечено хорошее фазовое соответствие между ходом поправок долготы для ст. Восток и поведением  $\lambda_D$ -функции.



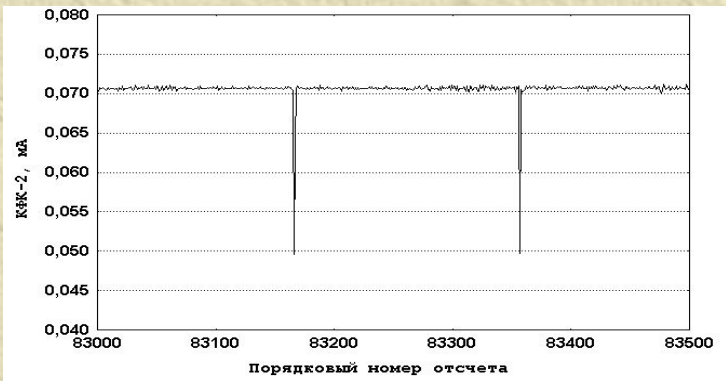
# Иррегулярные флуктуации в показаниях измерительных приборов: микрофотоколориметр



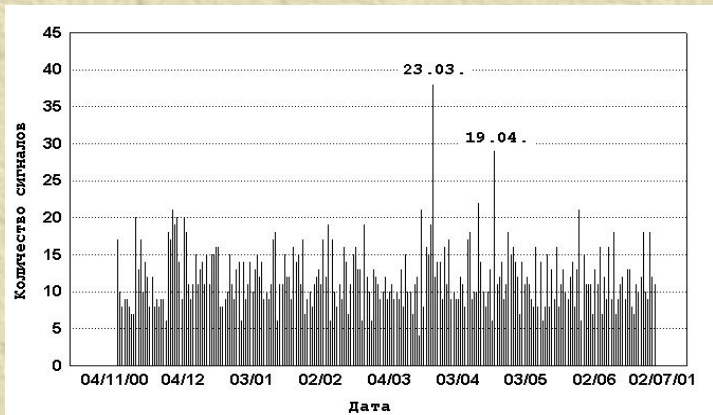
- Во время работы с унитиоловым тестом на судне «Ак. Фёдоров» были зафиксированы резкие импульсы в показаниях микрофотоколориметра. Основные черты этих сигналов:
- Наблюдаются в любое время с максимумом в момент кульминации Солнца
- Сигналы обладают высокой проникающей способностью
- Фурье анализ выявил короткие периоды, соответствующие пульсациям Солнца как Звезды: 20-40 мин, 5 мин, 2 мин.



# Иррегулярные флуктуации в показаниях измерительных приборов (микрофотоколориметр без рабочей среды)



Импульсные флуктуации (сигналы) тока в КФК-2 (Санкт-Петербург, АНИИ)



Распределение количества сигналов в сутках за период с 04.11.2000 г. по 20.07.2001г.  
(Санкт-Петербург, АНИИ)

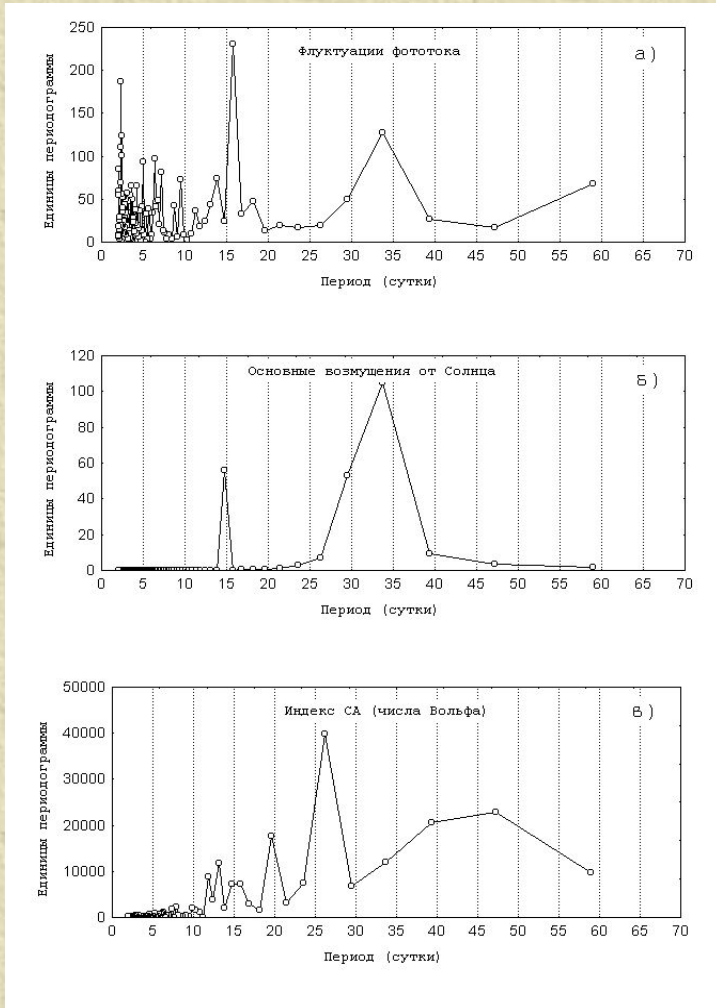
## Эксперименты с фотоколориметром не содержащим рабочей среды

- Запись осуществлялась мультиметром, соединённым с фотоколориметром каждые 0.5 сек
- Измерения в интервале  $0.0705 \pm 0.005$ mA
- Амплитуда сигналов -0.02mA

## Результаты эксперимента:

- Все сигналы похожи, но их длительность меняется от 0.5 до 6 сек
- Сигналы регистрируются каждый день в интервале N от 5 до 20.
- Максимальное число сигналов наблюдалось 27.03.2001г. ( $N=38$ ) и 23.04.2001г. ( $N=29$ ) за 4 дня перед мощными солнечными вспышками.

# Иррегулярные флуктуации в показаниях измерительных приборов (микрофотоколориметр без рабочей среды)

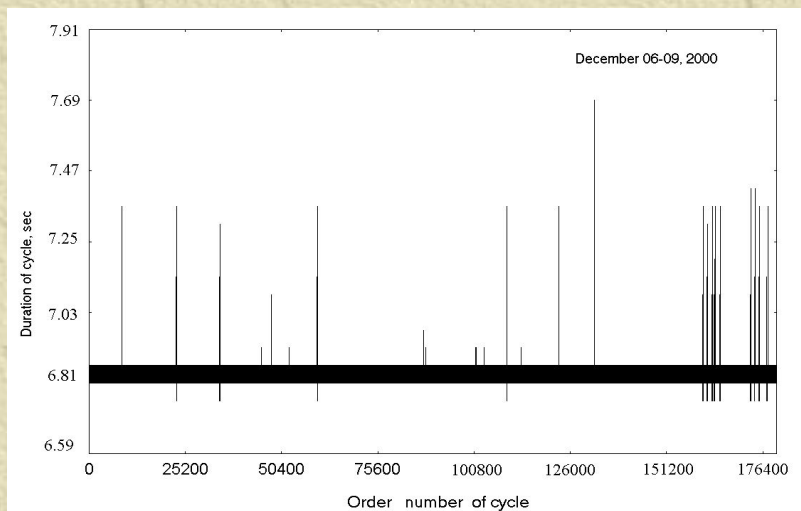
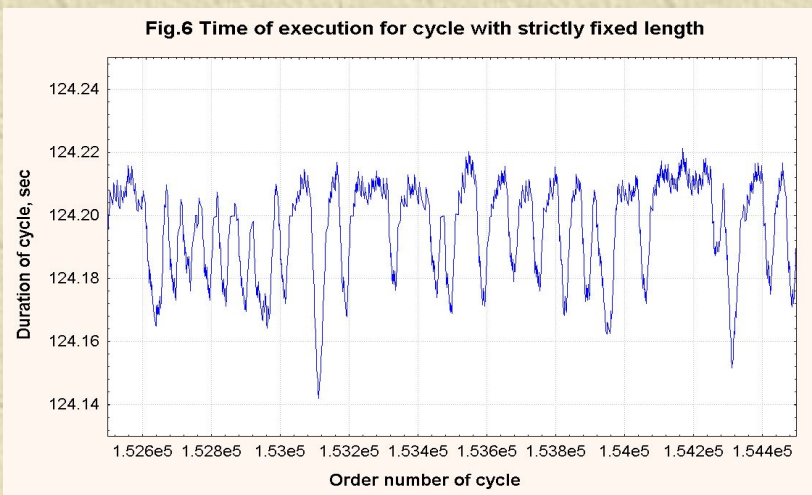


Сравнение вариаций импульсных отклонений тока в микрофотоколориметре КФК с возмущениями от Солнца (а) и индексом СА (числа Вольфа) (б) за период с 04.11.2000 г. по 20.07.2001 г. (Санкт-Петербург)

## Результаты анализа:

- Иррегулярный характер изменений числа появлений импульсных сигналов может быть описан как суперпозиция флуктуаций разных периодов, из которых основными являются 12-15 дней и 30 дней

# Иррегулярные флюктуации в показаниях измерительных приборов (компьютерный кварцевый генератор)



Эксперимент, выполненный с ПК, работающим в DOS конфигурации: операция присвоения значения «0» повторялась строго определённое число раз, т.е. задавался цикл определённой длины.

Время выполнения цикла считывалось компьютером автоматически.

Результаты анализа:

- Резкие увеличения времени исполнения цикла (почти в 10 раз) на фоне регулярных флюктуаций.
- Максимальное число появления сигналов (импульсов замедления) — ОКОЛО ПОЛУДНЯ

# Выводы

- Ритмические флуктуации с периодами близкими к 14.8 дням и 31.8 дням типичны для различных процессов в природе, от изменений скорости протекания биохимических реакций до вариаций компьютерного времени.
- Эти флуктуации хорошо согласуются с ходом  $\lambda_D$  – функции, описывающей основные нутационные движения Земли под действием Солнца и Луны.
- Вариации гравитационного поля являются, по-видимому, мощным ритмо-задающим фактором в динамике физико-химических и биологических процессов на Земле.
- Наиболее важные следствия этого влияния следует ожидать в медицине (механизмы адаптации к внешним влияниям) и в технологии (неравномерность компьютерного времени).



# Гипотезы

- Поскольку ритмические фликтуации, определяемые  $\lambda_D$  – функцией наблюдаются как в биохимических, так и в технологических системах, был сделан вывод, что имеется некий агент, влияющий на процессы в живой и неживой природе, а вариации гравитационного поля лишь модулируют эффективность этого агента.
- Хотя этот агент принципиально не мог быть отождествлен в ходе проводившихся экспериментов, эффекты его воздействия были обнаружены в форме импульсных сигналов тока микрофотоколориметра (в отсутствие рабочей среды), находившегося в экранированном от электромагнитных воздействий помещении. Отсюда был сделан вывод, что мы имеем дело с проникающим излучением солнечного и/или космического происхождения.

# Планы на 2004 – 2007 гг

## Проведение мониторинговых наблюдений эффекта “ $\lambda_D$ -функции”

- Систематические измерения координатно-временных поправок, обеспечиваемых GPS системой в южном и северном полушариях (С.Петербург, Шпицберген, ст. Новолазаревская, Восток).

## Регистрация эффектов воздействия варьирующего гравитационного поля на живую среду

- Регулярные измерения лаг-фазы дрожжевой палочки (С.Петербург).

## Изучение характеристик импульсного излучения (на сопряжённых станциях Баренцбург (Шпицберген) и Новолазаревская (Антарктида).

- регистрация импульсных сигналов в показаниях фототока микрофотоколориметра (АНИИ),
- регистрация характеристик оптического волнового фронта (*мерцание, дрожание, размытие изображения*) в приземной атмосфере (в диапазоне от 0.1 до 30 МГц) на базе малоинерционных температурных датчиков (АНИИ); определение интенсивности альфа-распада препарата  $^{239}\text{Pu}$  (аппаратура и методика Института теоретической и экспериментальной биофизики РАН);
- измерение интенсивности потока нейтронов (аппаратура и методика НИИЯФ МГУ);
- измерения флуктуаций интенсивности излучения люминисцентного источника на базе оптоволоконного спектрометра AvaBench в диапазоне от 200 до 750 нм (АНИИ)
- измерения потока рассеянного атмосферой солнечного излучения, в диапазоне от 295 до 430 нм (с помощью датчика рассеянного излучения (метод МФТИ: Н. Ф. Перевозчиков, В.Ф. Шарихин, *Новый вид излучения Солнца и физические процессы в биологических системах*).